日本感染症医薬品協会奨励賞受賞講演会記録

2012年11月8日, 学士会館 202号室

【2012年度受賞講演、座長:清田 浩】

HIVプロテアーゼの2量体形成機構の解析と新規の HIVプロテアーゼ2量体形成阻害剤の開発

開 康博

熊本大学医学部血液内科学. 感染免疫診療部

はじめに

2012年度の日本感染症医薬品協会奨励賞の受賞内容は、最近の筆者らの研究内容である1)多剤耐性HIV-1に対して高い活性を発揮するHIV-1プロテアーゼ阻害剤darunavir (DRV)に対する高度耐性HIV-1の試験管内誘導、2) DRV高度耐性HIV-1に新たに出現したHIV-1プロテアーゼ領域の変異がDRVのプロテアーゼ2量体形成阻害機構に与える影響の検討、の2つの研究から主になっている。本稿ではこれまで筆者らが行ってきた1)多剤耐性HIV-1に対して高い活性を発揮する新規のプロテアーゼ阻害剤の開発、2)HIV-1プロテアーゼの2量体形成機構の検出系の確立と阻害剤の開発過程も紹介し、我々の一連の研究に対する理解がより深まれば幸いである。

多剤耐性 HIV-1 に対して高い活性を発揮する プロテアーゼ阻害剤、DRV の開発

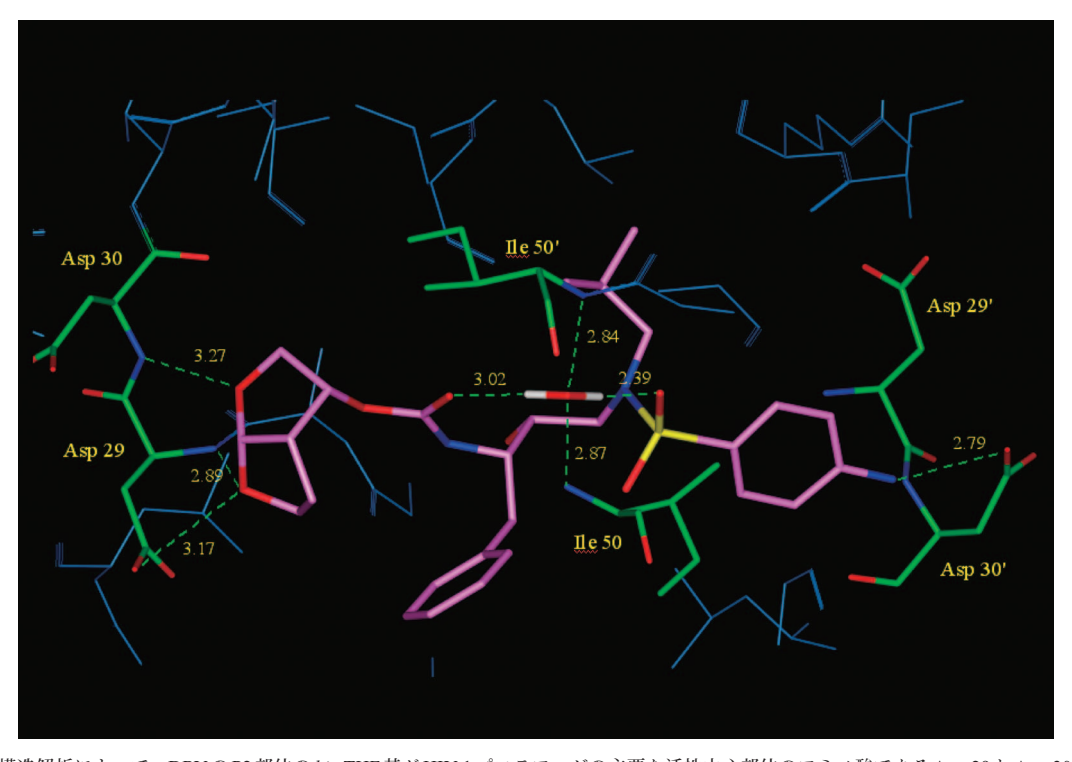
ヒト免疫不全ウイルス(HIV-1)感染によって 起こる後天性免疫不全症候群(AIDS)に対する化 学療法は長足の進歩を遂げ、かつて「死の病」と

された本疾患は「コントロール可能な慢性感染 症」と再定義し得る程となった。この進歩は、逆 転写酵素阻害剤 (reverse transcriptase inhibitors: RTIs) とプロテアーゼ阻害剤 (protease inhibitors: PIs) を組み合わせた多剤併用療法 (combinational antiretroviral therapy: cART) に負うところが大で ある。しかし、HIV-1がRTIsとPIsの両剤に対し て耐性を獲得してその多くが交差耐性であって治 療抵抗性となった症例数の増大、また耐性ウイル スによる初感染症例増多の報告が続いており、野 生HIV-1株と多剤耐性株の双方に強力な活性を発 揮し、薬剤耐性を誘導しにくく、副作用が少なく、 服用しやすい新規の薬剤の開発が依然として急務 の課題となっている。筆者は抗HIV-1剤開発研 究,特に薬剤耐性HIV-1にも有効な新規のPIsの 開発、HIV-1のPIsに対する耐性機構の解明等の 研究をこれまで行ってきた。

我々のグループは化合物のP2部位にbis-tetrahydrofuranylurethane (bis-THF) というユニーク な構造を有し、既存のPIsがHIV-1プロテアーゼ (protease: PR) の活性部位の側鎖に結合するのと

[Proceedings] Yasuhiro Koh: Study of HIV protease dimerization (PD) and identification of novel PD inhibitors (PDIs).

図1. DRVと野生型HIV-1プロテアーゼ複合体のX線結晶構造



結晶構造解析によって,DRVのP2部位のbis-THF基がHIV-1プロテアーゼの主要な活性中心部位のアミノ酸であるAsp-29とAsp-30の主 鎖と極めて強固な水素結合を形成していることが明らかとなった。水素結合を点線で示す。(文献1より改変して掲載)

異なり、PRの主要活性部位であるAsp-29、Asp-30の主鎖(backbone)と強固な水素結合を形成し、広いスペクトラムの薬剤耐性HIV株に高い活性を発揮するPI、TMC114/darunavir/PrezistaTM (DRV)についての細胞生物学的、ウイルス学的、結晶構造学解析を米国Purdue UniversityのDr. GHOSHの研究グループとの共同研究で世界に先駆けて進め、2003年この物質の標的であるHIV PRの結晶解析の結果まで含めて世界で初めて発表した(図1)¹⁾。DRVは2006年に米国食品医薬品局(FDA)で処方薬として認可、米国とヨーロッパの主要各国で臨床に供されて薬剤耐性ウイルス保持者で著しい臨床効果をもたらしており、本邦においても2007年に認可され、臨床に供されている。

HIV-1プロテアーゼ2量体形成の検出系の確立 と2量体形成阻害剤の開発

HIV-1 PR は2量体(homodimer)を形成し、酵素活性を発揮、HIV-1 PRの2量体形成(dimerization)はHIV-1 の増殖、複製にとって、必須と考えられている^{2,3)}。これまでもHIV-1 PR dimerizationの阻害は、PR 酵素活性を阻害し、HIV-1 の複製も阻害、新規の薬剤標的部位と考えられてきたが、過去に報告された種々の化合物、物質がPR dimerizationを阻害したという直接的な証拠はいままでなかった。我々は、ある蛍光分子の他の分子への励起エネルギーの移動する現象で、細胞内で起こる蛋白質間の相互作用や分子レベルでの事象を検出する手段となりうるFRET (fluorescence resonance emission transfer)の系を用いて、HIV-1 PR dimerizationを検出する系の確立を試みた。図2-Aに示すように

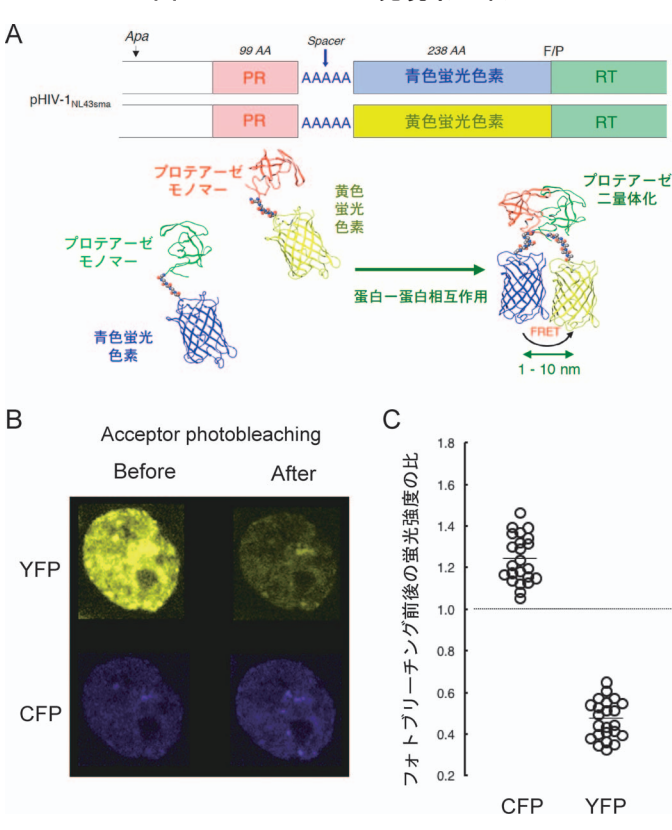


図2. FRET HIV-1 発現系の確立

(A) FRET HIV-1 発現系の確立。CFP, YFP タグ付き PR を有する感染性組み換え HIV-1 クローン(pHIV-PR_{wT} ^{CFP}, pHIV-PR_{wT} ^{VFP})を作成した。5つのアラニンからなるリンカーを PR と蛍光蛋白の間に挿入し,HIV-1 PR が切断する phenylalanine-proline site を蛍光蛋白と逆転写酵素の間に導入した。図にリンカーと蛍光蛋白を有するプロテアーゼのモノマーとダイマーを示す。FRET は蛍光蛋白が 1~10 nm と近接する場合に起こる。

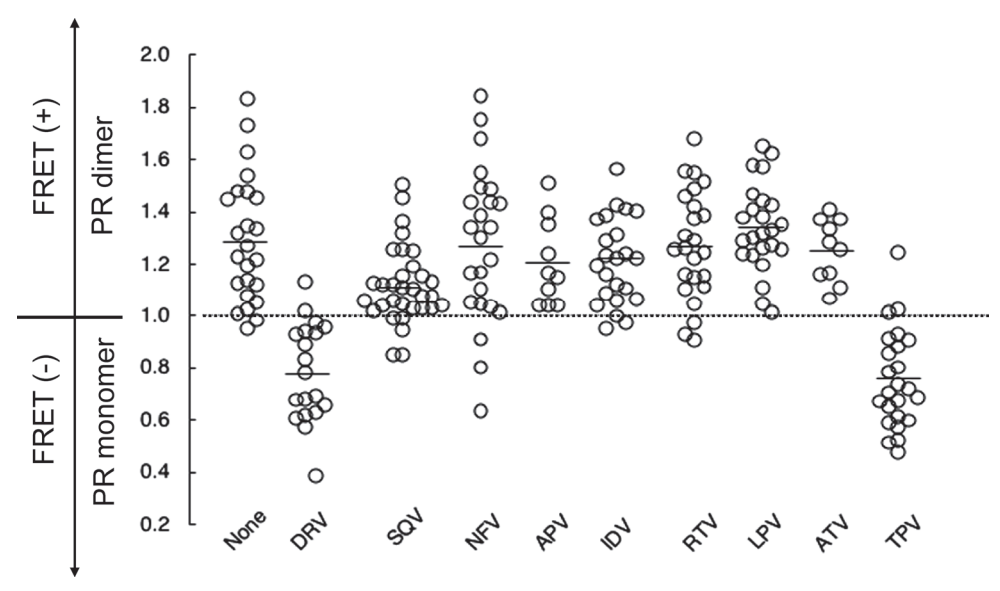
(B) アクセプター(YFP)フォトブリーチング前後におけるCOS7細胞の蛍光イメージ。CFP, YFPタグ付き野生型PRを有する感染性クローンpHIV-PR_{WT}^{CFP}とpHIV-PR_{WT}^{YFP}をCOS7細胞にco-transfection し, 72時間後に走査型レーザ生物顕微鏡Fluoview FV500により観察した。CFPタグ付き野生型HIV-1 PRと YFPタグ付き野生型HIV-1 PRはフォトブリーチング前に発現が確認された。フォトブリーチングした細胞は YFPの蛍光が著明に減少し、フォトブリーチング前後の YFPの蛍光の比は 0.17と減少したが、一方 CFPの蛍光の前後比は 1.38と増加した。このことは、YFP, CFPタグ付き PR monomer サブユニットが 2量体を形成していることを示す。

(C) フォトブリーチング前後の蛍光強度の比。CFP タグ付き野生型HIV-1 PR と YFP タグ付き野生型HIV-1 PR を co-transfection した各細胞の蛍光強度をフォトブリーチング前後で測定した。フォトブリーチング前後の比を測定した CFP AB ratio は 1.24 ± 0.11 (n=23) であり,一方 YFP AB ratio は 0.47 ± 0.09 (n=23) あった。CFP AB ratio が 1.0以上であれば,FRET が起こっていることを示す。 (文献 6 を参考に改変して掲載)

蛍光色素である青色蛍光色素(cyan fluorescent protein; CFP)あるいは黄色蛍光色素(yellow fluorescent protein; YFP)タグ付きPRを有する組み換え感染性HIV-1クローンpNL-PR_{WT} CFP, pNL-PR_{WT} YFP plasmidsを作成し、COS7細胞にpNL-PR_{WT} CFP と pNL-PR_{WT} YFP plasmidsを co-transfection し、72時間後、走査型レーザ生物顕微鏡(confocal laser scanning microscope)Fluoview FV500を用いて細胞内でFRETが起こるかどうかを確認した。

FRETの定量化の方法として、以前にも種々の方法が報告されているが、我々はアクセプターフォトブリーチング法を用いた(図2-B)^{4,5)}。すなわち、YFPを選択的にアルゴンレーザーによりフォトブリーチング、退色させた細胞において、ブリーチング前後における CFP の蛍光強度を測定し、CFP の蛍光強度の前後比である CFP fluorescence after photobleaching/CFP fluorescence before photobleaching (CFP^{A/B} ratio) が1.0以上であれば、

図3. DRV, TPV による HIV-1 PR 2 量体形成の阻害



1µMの各種PIs (DRV, SQV, NFV, APV, IDV, RTV, LPV, ATV, TPV) 存在下の COS7細胞に pNL-PR_{WT}^{CFP}と pNL-PR_{WT}^{VFP}を co-transfection した。72 時間後、培養細胞を走査型レーザ生物顕微鏡 Fluoview FV500を用いて観察し、CFP^{AB} ratios を決定した。CFP^{AB} ratios が 1.0 以上であれば、FRET が起こっており、HIV-1 PR が 2量体形成していることを示す。比の平均値は横線で示す。(文献6を参考に改変して掲載)

CFP, YFP間の蛍光エネルギーの移行 (FRET) が起こっていたと考えられ、このことは PR_{WT}^{CFP} と PR_{WT}^{YFP} 蛋白間の2量体が形成されていることを示している (図2-C)。

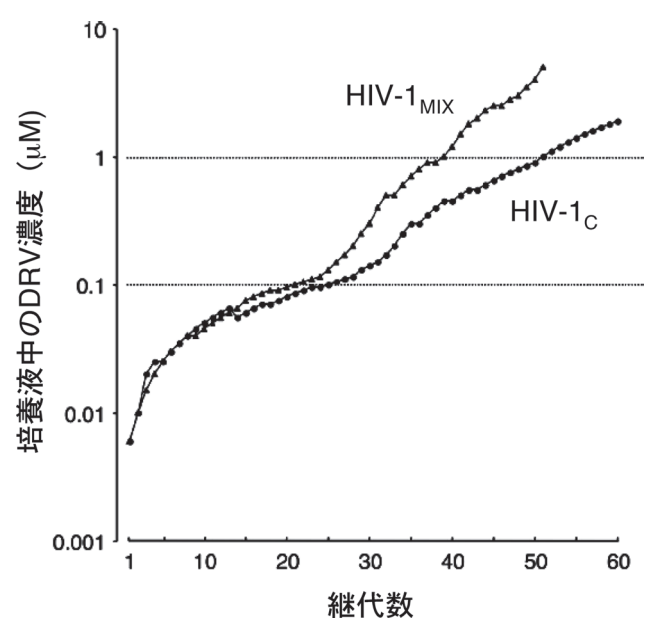
そこで我々は、このFRET-HIV-1 PR発現系を用いて、種々の既存の抗HIV-1剤、新規に合成した化合物を検討し、PR dimerizationを阻害する一群の新規低分子化合物(PR dimerization inhibitors: PDIs)を開発し同定した⁶。興味深いことに、amprenavir(APV)、nelfinavir(NFV)等の既存のPIs はPR dimerizationには影響を与えないのに対して、我々が開発し多剤耐性HIV-1に対して高い活性を発揮する新規のプロテアーゼ阻害剤であるDRV は成熟 PR 活性の阻害効果のみならず、PR 前駆体が成熟するために必須の過程であるdimerizationをも阻止するbifunctional PI(あるいは PDI)であることが明らかとなった(図3)。

多剤耐性臨床分離株の混合株を用いたDRV高度耐性HIV-1の試験管内誘導

野生HIV-1株を用いた試験管内耐性誘導実験に おいて、DRVの耐性発現は既存のPIsと比較して 極めて遅延し、野生HIV-1株からのDRV高度耐 性HIVの試験管内誘導は今までに成功した報告 はなかった。そこで、我々はDRVが感受性を発 揮、維持している多剤耐性臨床分離株を用いて、 DRVに対する高度耐性HIV-1の誘導を試みた。8 種類のmultidrug-resistant HIV-1 (HIV-1_{MDR}) を単 一,あるいはmixtureした混合株を用いて,DRV 耐性誘導実験を行った。単一のHIV-1_{MDR}をそれ ぞれ用いた耐性誘導実験ではHIV-1cを用いた実 験のみでDRV耐性を誘導し得たが、その他の単 ーのHIV-1_{MDR} はDRV 存在下では増殖,複製でき なかった。8種類のHIV-1_{MDR}の混合株を用いた実 験では、39 passageでDRV 1 μM 存在下、51 passage ではDRV 5μM 存在下で増殖、複製可能なHIV-1 を誘導することに成功し、HIV-1c単一株を用いた DRV耐性誘導実験と比較して、耐性発現遅延がより早く、高濃度 $(5\mu M)$ の DRV 存在下まで誘導し得た(図4)。HIV- 1_{MIX}^{P51} の PR 領域には、野生HIV- $1_{NI4.3}$ と比較して、14個のアミノ酸変異の蓄

積が認められ、HIV-1混合株の中で、主要株となっている $HIV-1_{C}$ と比較して、新たに4つの変異の蓄積(V32I, L33F, I54M, I84V)が認められた(図5: 太字で示す)。DRV耐性誘導実験で得られ





複数のPIsに対して耐性となった8種類の臨床分離株の混合株であるHIV- 1_{MIX} (lacktriangle)と単一の多剤耐性臨床分離株であるHIV- 1_{C} (lacktriangle)をそれでれ、DRVの濃度を徐々に上昇させながら、MT-4細胞を用いて継代培養を続けた。耐性誘導実験は計60 passagesまで続けられ、HIV- 1_{MIX} は 0.006 μ Mの DRV 存在下で継代を始め、51 passage では 5.0 μ Mの DRV 存在下で増殖複製可能となった。(文献 7 を参考に改変して掲載)

図5. DRV 存在下で継代された HIV-1_{MIX}の PR 領域のアミノ酸変異の蓄積

	10	20	30	40	50
pNL4-3	PQITLWQRPL	VTIKIGGQLK	EALLDTGADD	T VL EEMNLPG	RWKPKMIGGI
1P	I	VR	I	I	L
10P	I	VR	I	.II	L
30P	I	VR	I	.II	L
51P	I	VR	I	.IFI	L
	60	70	80	90	99
pNL4-3	GGFIKVRQYD	QILIEICGHK	AIGTVLVGPT	PVNIIGRNLL	TQIGCTLNF
1P	SV	.VPQ		.AM.	
10P		P		.AM.	
30P		PQ		.A.VM.	
51P	M	PQ		.I.VM.	

DRV 存在下で継代培養されたHIV-1 $_{
m MIX}$ の4つの異なるpassages から得られたHIV-1のPR 領域のアミノ酸変異を示す。対照として,野生 HIV-1 $_{
m NL43}$ のPR 全長(99アミノ酸)を上に示す。(文献7を参考に改変して掲載)

 ${
m DRV}$ 耐性誘導実験で得られた多剤耐性臨床分離混合株(${
m HIV-I_{MIX}}$)に対する種々の ${
m PIs}$ の抗ウイルス活性(${
m EC_{sii}}$: μ M)

ウイルス	SQV	NFV	APV	IDV	RTV	LPV	ATV	TPV	DRV
HIV-1 _{ERS104pre} (wild-type)	600.0	0.016	0.025	0.021	0.030	0.015	0.005	0.10	0.003
$\mathrm{HIV-1_{MIX}}^{\mathrm{Pl}}$	0.034 (4)	0.66 (41)	0.28 (11)	>1 (>48)	>1 (>33)	0.26 (17)	0.021 (4)	0.060 (0.6)	0.005 (2)
HIV - $\mathrm{I_{MIX}}^{\mathrm{PI0}}$	0.026(3)	>1 (>63)	0.45 (18)	>1 (>48)	>1 (>33)	0.22 (15)	0.035 (7)	0.023 (0.2)	0.013 (4)
HIV - $1_{\mathrm{MIX}}^{\mathrm{P30}}$	0.30 (33)	>1 (>63)	>1 (>40)	>1 (>48)	>1 (>33)	>1 (>67)	>1 (>200)	0.33 (3)	0.31 (103)
HIV - 1_{MIX}	0.35 (39)	>1 (>63)	>1 (>40)	>1 (>48)	>1 (>33)	>1 (>67)	>1 (>200)	0.41 (4)	>1 (>333)
$HIV-1_{MIX}^{P51}$	0.30 (33)	>1 (>63)	>1 (>40)	>1 (>48)	>1 (>33)	>1 (>67)	>1 (>200)	1.79 (18)	>1 (>333)

。платосо притыж ф 大阪 中の 1, 10, 30, 39, 51 各 разsage の HIV-1 を分離。そ 括弧() 内の数字は各薬剤が野生株 HIV-1 ERS104pre と比較して耐性株に何倍 DRV 高度耐性HIV-1 を誘導した。 れらの誘導株に対するDRV 及び他のPIsの活性(EC_{Si-I}M)は,MT-4細胞を用いたp24 assayで検討された。 EC_{si}値が上昇したかを示す。(文献7を参考に改変して掲載) 継代培養を重ね, 多剤耐性臨床分離 HIV-1のmixtureを DRVの濃度を徐々にあげながら,

たHIV- 1_{MIX} に対する種々のPIsの抗HIV活性を検討したところ,継代を経るにつれてHIV- 1_{MIX} は,APV, IDV, NFV, RTV, LPV, ATV に対して高度耐性を獲得し,SQV, TPV に対して中等度耐性を認めた(表 1)。DRV に対しても徐々に耐性を獲得し,39 passage,あるいは51 passage を経たHIV- 1_{MIX} に対するDRVの抗ウイルス活性はEC50値が 1μ M以上とDRV高度耐性を獲得していることが明らかとなった。これらの研究からHIV-1のDRV耐性は極めて困難ではあるが,複数のPIs耐性HIV変異体のhomologous recombinationが起これば,HIV-1はDRV高度耐性となりうる可能性を示した70。

DRV耐性関連変異と HIV protease dimerization の関連性

最後に、我々が誘導したDRV高度耐性HIV-1 に新たに出現した4つのPR変異 (V32I, L33F, I54M, I84V) の DRV 耐性に与える影響について 検討を重ねた。まず、これらの試験内で認められ た変異がDRV耐性臨床分離株にも共通して認め られるかを検討したところ、PR領域の32,33,54, 84番の変異はDRV高度耐性となった複数の臨床 分離株から認められていることを米国Stanford大 学のDr. Shafer との共同研究で明らかとした(表 2:太字で示す)。また、これら4つの変異 (V32I/ L33F/I54M/I84V) を含んだ感染性組み換えHIV 変異体を作成し、DRVの抗HIV-1活性を検討した ところ、これら4つの変異が蓄積するとDRVの EC₅₀値は0.64 μMと野生株に対する抗ウイルス活 性(EC50値; 0.003 µM) と比較して, 213 倍もの 高度耐性となることを明らかとした8)。更に、前 述したFRET-HIV-1発現系を用いて、これらの変 異がDRVのPR dimerization阻害活性に与える影 響と検討した。V32I, L33F, I54M, I84V のそれぞ れ単一の変異を導入したPR変異体ではDRVの dimerization 阻害活性に対して耐性とはならな

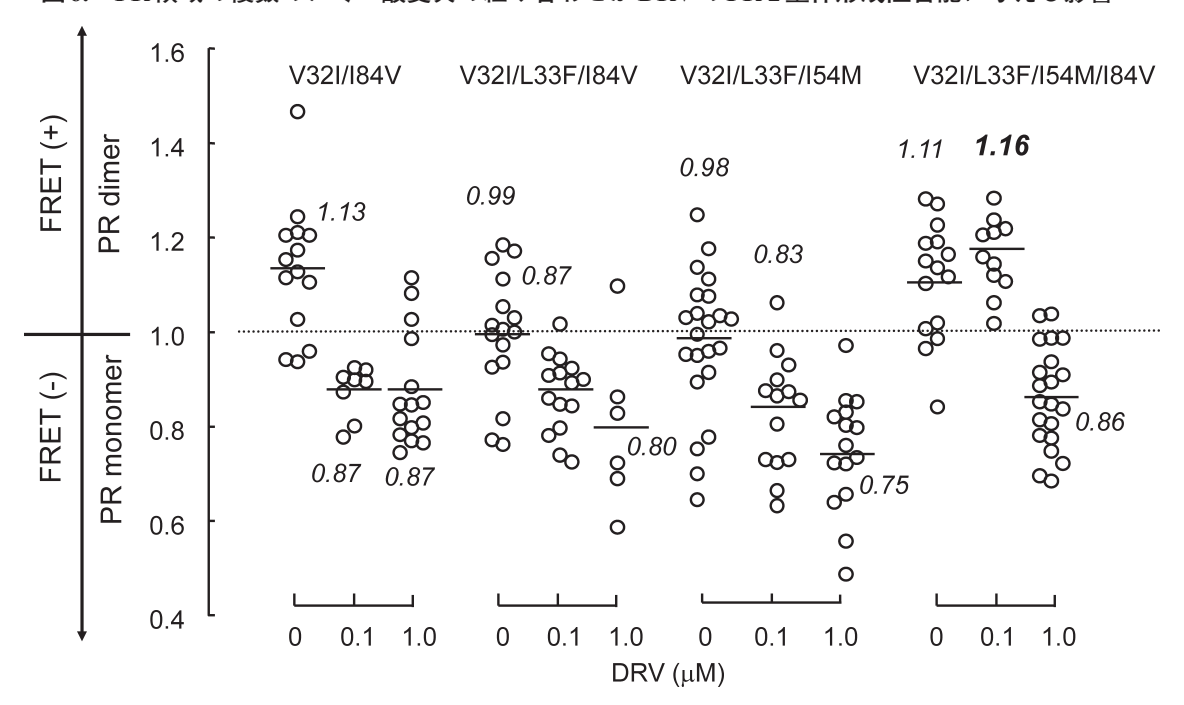
表2. DRV耐性関連アミノ酸変異の同定

同定された DRV 耐性関連アミノ酸変異	分離株	DRV の抗 HIV 活性 (EC ₅₀ : μM) (fold change)
L10I, I15V, K20R, L24I, V32I, L33F , M36I, M46L, I54M , L63P, K70Q, V82I, I84V , L89M	$\mathrm{HIV}_{\mathrm{8MIX}}^{\mathrm{P51}}$	>1 (>333)
L10F, V11I, I13V, L19Q, K20M, V32I , L33F , E35A, M36I, M46I, I47V, I54M , R57K, I62V, L63P, I64V, G73T, T74A, I84V , L89V, L90M	$_{ m rCL}{ m HIV}_{ m F16}$	0.30 (97)
L10F, V111, T12P, 113V, 115V, L19P, K20T, V32I, L33F , E35G, M36I, I54V, I62V, L63P, K70T, A71I, G73S, P79A, 184 V, L89V, L90M	rCLHIV _{T45}	0.33 (105)
L10I, 113V, 115V, L19V, L24I, V32I, L33F , K43E, M46L, I54L , D60E, L63P, A71V, 172V, V82A, I84V	rCLHIV _{T48}	0.17 (54)
V111, V321, L33F , 147V, 150V, I54L/M , G73S, L76V, I84V , L89V		

V32I, I50V, I54L, I54M, L76V, V82F

DRV 高度耐性HIV-1から得られたPR領域のアミノ酸変異を示す。HIV_{SMIX}^{P3} は我々が試験管内で誘導したDRV 高度耐性株",3つの組み換え感染性クローン rg.HIV ris, rg.HIV ris はDRV を含んだ抗HIV 療法が失敗した患者から分離された臨床分離株を示す®。表中の括弧() 内の数字は各薬剤が野生株HIV-1EBS104pps と比較して耐性株に何倍 BC3。値が上昇したかを示す。表中の下から2番目のアミノ酸変異は,DE MEYER[®]),MITSUYA^{1®} らによって報告された変異,1番下のアミノ酸変異は DRV 耐性に最も寄与すると VAN MARCK らによって報告された変異を示す ^{11®}。(文献8を参考に改変して掲載)

図6. PR領域の複数のアミノ酸変異の組み合わせが DRV の PR 2 量体形成阻害能に与える影響



薬剤非存在下、あるいは0.1 μ M、1 μ M DRV 存在下の COS7 細胞に V32I/L33F/I84V, V32I/L33F/I54M, V32I/L33F/I54M,

かった。2つあるいは3つの変異の組み合わせを 導入したPR変異体でもDRVのdimerization阻害 活性に対して耐性とはならなかったが、V32I/ L33F/I54M/I84Vの4つの変異を導入したところ、 HIV-1 PR変異体はDRVのdimerization阻害活性 からescape しうることが明らかとなった(図6)⁸⁾。 これらの実験データより、HIV-1はDRVが発揮するPR dimerization阻害効果を減弱させ、DRV高度耐性となりうるといったHIV-1の新しい薬剤耐性機構を明らかとなった。同時にPR領域の4つの変異(V32I/L33F/I54M/I84V)の組み合わせが、 DRVのPR dimerization阻害効果の減弱に必要であったことは、DRVに対するHIV-1の耐性発現は極めて遅延し、かつ困難であることを示すものであった。

まとめ、今後の研究計画

筆者らは、1) 多剤耐性HIV-1 に対して高い抗ウ イルス活性を発揮するPI; DRVの開発, 2) HIV-1 の複製、増殖に必須と考えられるHIV-1 PR dimerization の検出系の確立と DRV を含んだ一連 のPDIsの同定、3) 多剤耐性臨床分離株の混合株 を用いてDRV高度耐性HIV-1変異体の誘導に成 功、4) DRV耐性関連変異がDRVの有するPR dimerization 阻害活性に与える影響を検討し、4つ の変異 (V32I/L33F/I54M/I84V) の蓄積によって, HIV-1がDRVのdimerization阻害活性から耐性と なりうるといった新しい薬剤耐性機構の解明、と いった研究を一貫して行ってきた。今後は、質量 分析 (ESI-MS), 結晶構造, ウイルス, 酵素学的 アプローチによる DRV の HIV-1 PR モノマーとの 結合様式、結合部位の解析、DRV以外のPDIであ り現在海外で認可されている PI, tipranavirの PR dimerization 阻害機構の解析 $^{12)}$, DRV 高度耐性 HIV- 1_{MDR} PR(本文中のHIV- 1_{MIX} P51等)の結晶構造解析のデータに基づいた,より強力な新規の PDIs の開発等を目指す。

謝辞

この度,2012年度の日本感染症医薬品協会奨励 賞を受賞することになりましたことを深く感謝致 します。本研究は、熊本大学医学部血液内科学で 主に行った研究であり、これまで御指導頂きまし た熊本大学満屋裕明教授および諸先生方、本賞の 選考にあたられました選考委員の先生方に厚く御 礼申し上げます。

文献

- Koh, Y.; H. Nakata, K. Maeda, et al.: Novel bis-tetrahydrofuranylurethane-containing nonpeptidic protease inhibitor (PI) UIC-94017 (TMC114) with potent activity against multi-PI-resistant human immunodeficiency virus in vitro. Antimicrob. Agents Chemother. 47: 3123~3129, 2003
- 2) WLODAWER, A.; M. MILLER, M. JASKÓLSKI, *et al.*: Conserved folding in retroviral proteases: crystal structure of a synthetic HIV-1 protease. Science 245: 616~621, 1989
- Kohl, N. E.; E. A. Emini, W. A. Schleif, et al.: Active human immunodeficiency virus protease is required for viral infectivity. Proc. Natl. Acad. Sci. USA 85: 4686~4690, 1988
- SEKAR, R. B. & A. PERIASAMY: Fluorescence resonance energy transfer (FRET) microscopy imaging of live cell protein localizations. J. Cell Biol. 160: 629~633, 2003
- 5) Bastiaens, P. I.; I. V. Majoul, P. J. Verveer, *et al.*: Imaging the intracellular trafficking and

- state of the AB5 quaternary structure of cholera toxin. Embo. J. 15: 4246~4253, 1996
- Koh, Y.; S. Matsumi, D. Das, et al.: Potent inhibition of HIV-1 replication by novel nonpeptidyl small molecule inhibitors of protease dimerization. J. Biol. Chem. 282: 28709~ 28720, 2007
- Koh, Y.; M. Amano, T. Towata, et al.: In vitro selection of highly darunavir-resistant and replication-competent HIV-1 variants by using a mixture of clinical HIV-1 isolates resistant to multiple conventional protease inhibitors. J. Virol. 84: 11961~11969, 2010
- Koh, Y.; M. Aoki, M. L. Danish, et al.: Loss of protease dimerization inhibition activity of darunavir is associated with the acquisition of resistance to darunavir by HIV-1. J. Virol. 85: 10079~10089, 2011
- 9) DE MEYER, S.; T. VANGENEUGDEN, B. VAN BAELEN, *et al.*: Resistance profile of darunavir: combined 24-week results from the POWER trials. AIDS Res. Hum. Retroviruses 24: 379~388, 2008
- 10) Mitsuya, Y.; T. F. Liu, S. Y. Rhee, et al.: Prevalence of darunavir resistance-associated mutations: patterns of occurrence and association with past treatment. J. Infect. Dis. 196: 1177~1179, 2007
- 11) Van Marck, H.; I. Dierynck, G. Kraus, et al.: The impact of individual human immunodeficiency virus type 1 protease mutations on drug susceptibility is highly influenced by complex interactions with the background protease sequence. J. Virol. 83: 9512~9520, 2009
- 12) Aoki, M.; M. L. Danish, H. Aoki-Ogata, et al.: Loss of the protease dimerization inhibition activity of tipranavir (TPV) and its association with the acquisition of resistance to TPV by HIV-1. J. Virol. 86: 13384~13396, 2012